

文章编号: 1006-9941(2004)06-0361-03

## AN 和硝酸钠混合物热分解的动力学分析

郭子如, 王小红

(安徽理工大学化学工程系, 安徽 淮南 232001)

**摘要:** 用非等温 DSC 和 TG, 在  $2, 4, 6, 8 \text{ K} \cdot \text{min}^{-1}$  四个不同的线性升温速率下, 研究了分析纯硝酸铵(AN)、工业 AN 以及分析纯 AN 和  $\text{NaNO}_3$  混合物的热分解动力学。结果表明, 在反应深度为  $0.0 \sim 0.4$  区间内, AN 热分解反应受随机成核和随后增长机理控制, 机理函数为  $n = 2/3$  的 Avrami-Erofeev 方程。含 10%  $\text{NaNO}_3$  的分析纯 AN 在同一反应深度区间内的分解过程归属一维相边界反应, 机理函数为  $n = 1/3$  的收缩球(体积)方程。分析纯 AN(工业 AN 与之相似)以及含 10%  $\text{NaNO}_3$  混合物的动力学方程分别为:  $\frac{d\alpha}{dT} = 10^{9.43}(1 - \alpha)[-\ln(1 - \alpha)]^{1/3} \exp(-1.319 \times 10^4/T)$  和  $\frac{d\alpha}{dT} = 10^{9.4}(1 - \alpha)^{2/3} \exp(-1.566 \times 10^4/T)$  表明, AN 中加入少量  $\text{NaNO}_3$  可以改善 AN 的热稳定性。

**关键词:** 物理化学; 硝酸铵(AN); 热分解; 动力学; DSC; TG

中图分类号: TJ55; O643

文献标识码: A

### 1 引言

硝酸铵(AN)是工业炸药的主要组分, 在工业炸药体系中作为氧化剂。为了改善氧平衡, 在含水工业炸药中一般采用  $\text{NaNO}_3$  作为工业炸药的辅助氧化剂(含量约在 10% 左右)。但是硝酸钠对硝酸铵热稳定性和热分解机制的影响鲜见报道。文献[1]曾报道过  $\text{NaNO}_3$ (SN)可以钝化 AN 的热分解, 本文通过热分析实验, 研究分析了 AN 和 SN 混合物的热稳定性和热分解机制, 试图通过热分解动力学的结果来佐证这个问题。此外, 对工业 AN 和分析纯 AN 的热分解特征亦进行了实验对比研究, 并给出了热分解动力学参数。

### 2 实验条件

**样品:** 分析纯 AN(广东汕头市西陇化工厂产), 工业 AN(淮南化工厂产), 分析纯 AN 与  $\text{NaNO}_3$ (上海第一试剂厂产)的混合物( $\text{NaNO}_3$  的含量约 10%)。

**试样量:** AN 和  $\text{NaNO}_3$  的混合物为 42.2609 mg, 分析纯 AN 的量为 42.1418 mg。**仪器:** 美国 TA 公司生产的 SDT-2960 型 TG-DSC 热分析仪。

**实验条件:** 升温速率  $\beta = 2, 4, 6, 8 \text{ K} \cdot \text{min}^{-1}$ , 动态氮气流, 气流速为  $50 \text{ ml} \cdot \text{min}^{-1}$ 。

收稿日期: 2004-04-20; 修回日期: 2004-06-10

**作者简介:** 郭子如(1962-), 男, 副教授, 从事爆炸理论与含能材料的教学与研究。e-mail: zrguo@aust.edu.cn

### 3 结果与讨论

分析纯 AN, 分析纯 AN/ $\text{NaNO}_3$ (90/10)混合物的典型 TG 曲线和 DSC 曲线见图 1~3。相应的热分解数据见表 1 和表 2。

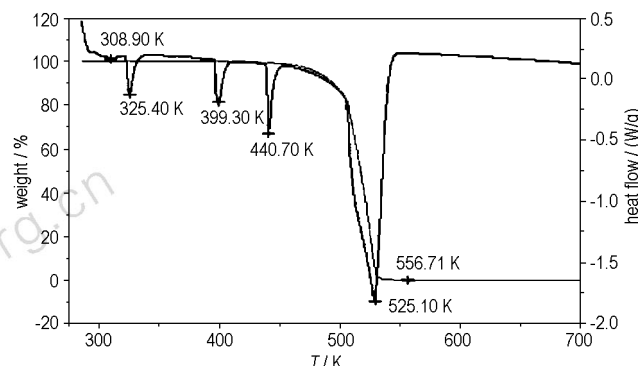


图 1 分析纯 AN 的 DSC 曲线和 TGA 曲线( $\beta = 2 \text{ °C} \cdot \text{min}^{-1}$ )

Fig. 1 DSC and TGA curves of analytically pure AN at the heating rate of  $2 \text{ °C} \cdot \text{min}^{-1}$

图 2 中  $8 \text{ K} \cdot \text{min}^{-1}$  的 DSC 曲线自左至右前三个吸热峰归因于 AN 的  $\beta \rightarrow \gamma \rightarrow \sigma \rightarrow \epsilon$  晶形转变, 第四个吸热峰由 AN 的固-液相变引起, 第五个吸热峰是液态 AN 的分解。升温速率小于  $8 \text{ K} \cdot \text{min}^{-1}$  时, 很难观察到 AN 在 DSC 曲线上的第二个晶转峰。将  $\text{NaNO}_3$  加入 AN 中后, 使第四个固-液相变峰变小, 乃至消失, 如图 3 所示。图 3 中, 575.40 K 处的吸热峰归因于  $\text{NaNO}_3$  的熔化。

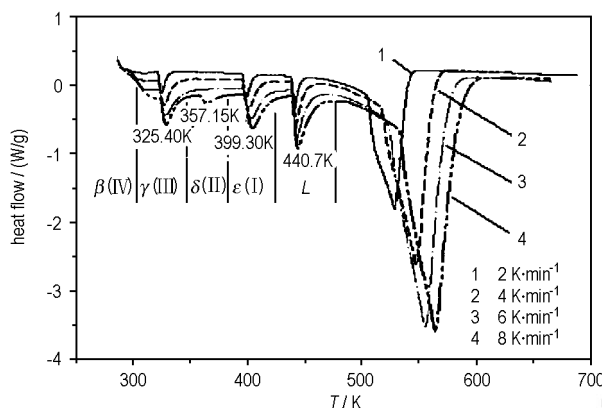


图 2 分析纯 AN 不同升温速率的 DSC 曲线  
Fig. 2 DSC curves of analytically pure AN at various heating rates

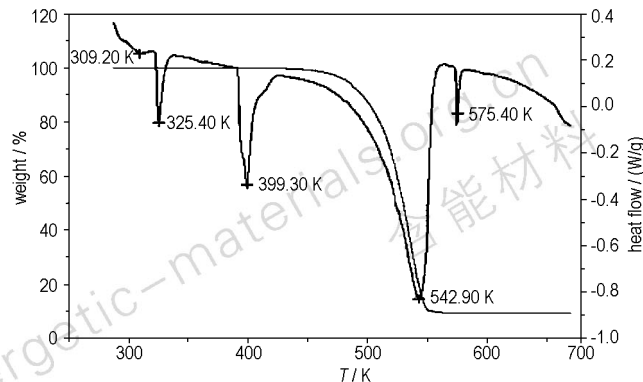


图 3 分析纯 AN/NaNO<sub>3</sub> (90/10) 混合物的 DSC

曲线和 TGA 曲线 ( $\beta = 2 \text{ }^{\circ}\text{C} \cdot \text{min}^{-1}$ )  
Fig. 3 DSC and TGA curves of analytically pure AN mixtures at the heating rate of  $2 \text{ }^{\circ}\text{C} \cdot \text{min}^{-1}$

表 1 由不同加热速率 DSC 曲线确定的 3 种体系热分解动力学参数的计算值

Table 1 Calculated parameters of the thermal decomposition reaction for the systems 1 ~ 3 determined from the DSC curves at various heating rates

$\beta$ $/\text{K} \cdot \text{min}^{-1}$	$T_{\alpha=0.4}/\text{K}$			Qzawa method								
				system 1 <sup>1)</sup>		system 2 <sup>2)</sup>		system 3 <sup>3)</sup>				
	system 1 <sup>1)</sup>	system 2 <sup>2)</sup>	system 3 <sup>3)</sup>	$E_{\alpha=0.4}$ <sup>4)</sup>	$r_0$	$Q$	$E_{\alpha=0.4}$ <sup>4)</sup>	$r_0$	$Q$	$E_{\alpha=0.4}$ <sup>4)</sup>	$r_0$	$Q$
2	513.98	514.76	524.72									
4	528.33	531.79	534.56									
6	535.33	538.57	541.73	106.6	0.9983	0.019	105.0	0.9934	0.037	131.6	0.9941	0.035
8	543.18	543.48	548.93									

notes: 1) analytically pure; 2) commercially pure AN; 3) analytically AN/NaNO<sub>3</sub> (90/10); 4) the unit of  $E_{\alpha=0.4}$  is  $\text{kJ} \cdot \text{mol}^{-1}$ .

表 2 由 DSC 曲线确定的 3 种体系的热分解反应动力学参数的计算值

Table 2 Calculated kinetic parameters of the thermal decomposition reaction for systems 1 ~ 3 determined from the DSC curve at a heating rate of  $6 \text{ K} \cdot \text{min}^{-1}$

system	$T_{\alpha=0.1}$ $/\text{K}$	$T_{\alpha=0.2}$ $/\text{K}$	$T_{\alpha=0.3}$ $/\text{K}$	$T_{\alpha=0.4}$ $/\text{K}$	$f(\alpha)$ No.	$E/\text{kJ} \cdot \text{mol}^{-1}$	$\lg(A/\text{s}^{-1})$	Satava-Sestak method		
								$r_s$	$Q_s$	
1	514.48	526.08	530.76	535.33	14	109.7	8.25	0.9949	0.024	
2	515.87	526.77	533.22	538.57	14	102.1	7.44	0.9998	0.004	
3	515.98	530.51	536.26	541.73	29	129.4	9.42	0.9947	0.036	

注:  $f(\alpha)$  为最可机理函数, No. 14 函数为  $f(\alpha) = \frac{3}{2}(1-\alpha)[-\ln(1-\alpha)]^{\frac{1}{3}}$ ,  $G(\alpha) = [-\ln(1-\alpha)]^{\frac{2}{3}}$ , No. 29 函数  $f(\alpha) = 3(1-\alpha)^{\frac{1}{3}}$ 。

对表 1 中的 4 种不同升温速率 2, 4, 6, 8  $\text{K} \cdot \text{min}^{-1}$  下分析纯 AN (体系 1), 工业纯 AN (体系 2) 和分析纯 AN/NaNO<sub>3</sub> (90/10) (体系 3) 在分解率  $\alpha = 0.4$  时的原始数据 ( $\beta_i, T_{\alpha=0.4}, i = 1 \sim 4$ ), 分别采用 Ozawa 方程<sup>[2]</sup>

$$\lg \beta = \lg \frac{AE}{\beta R} - 2.315 - 0.4567 \frac{E}{RT}$$

和 Satava-Sestak 方程<sup>[3,4]</sup>

$$\lg G(\alpha_{ij}) = \lg \frac{AE}{\beta_i R} - 2.315 - 0.4567 \frac{E}{RT_{ij}} \quad (i \text{ 固定}, j = 1 \sim 4)$$

式中,  $\beta$  为线性升温速率常数;  $E$  和  $A$  分别为分解反应的表观活化能和指前因子;  $G(\alpha)$  为积分机理函数;  $R$  为普适气体常数;  $T$  为温度, K。

进行动力学参数  $E$  和  $A$  的计算和最可机理函数的逻辑选择<sup>[5]</sup>, 由此所得最可机理函数  $G(\alpha)$ 、 $E$ 、 $A$  及

线性相关系数  $r$  和方差  $Q$  列在表 1 和表 2 中。结果表明, 两种分析方法所得的动力学参数一致。这一事实表明, 在  $\alpha = 0.1 \sim 0.4$  的范围内, AN 的热分解过程符合随机成核和随后生长机理, 机理函数为  $n = 1/3$  的 Arrami-Erofeev 方程, 分析纯 AN 的分解速率方程可表示为(工业 AN 的热分解机理和分析纯 AN 的热分解机理相同, 见表 2):

$$\frac{d\alpha}{dT} = 10^{9.43}(1 - \alpha) [-\ln(1 - \alpha)]^{\frac{1}{3}} \exp(-1.319 \times 10^4/T)$$

对于分析纯 AN/NaNO<sub>3</sub>(90/10)混合体系, 在相同范围内, 由逻辑选择法确定的  $E = 129.4 \text{ kJ} \cdot \text{mol}^{-1}$ ,  $\lg(A/\text{s}^{-1}) = 9.42$ ,  $G(\alpha) = 1 - (1 - \alpha)^{\frac{1}{3}}$ ,  $f(\alpha) = 3(1 - \alpha)^{\frac{2}{3}}$  表明该分解过程受一维相边界反应控制, 分解速率方程可用下式描述:

$$\frac{d\alpha}{dT} = 10^{9.40}(1 - \alpha)^{\frac{2}{3}} \exp(-1.556 \times 10^4/T)$$

$T = 535 \text{ K}$  时, 分析纯 AN 及其与 NaNO<sub>3</sub> 混合体系的分解速率常数分别为和  $k_{\text{AN}} = 10^{-2.46} \text{ s}^{-1}$  和  $k_{\text{mix}} = 10^{-3.21} \text{ s}^{-1}$ ,  $k_{\text{AN}} > k_{\text{mix}}$  的事实说明, 加入 NaNO<sub>3</sub> 有利于 AN 热稳定性的改善。

## 4 结 论

(1) 上述分析结果表明, AN 中混有约 10% 的 NaNO<sub>3</sub> 后, 其混合物的活化能提高, 自加热分解延滞期延长, 反应速率常数减小。说明加入适量 NaNO<sub>3</sub> 有利于改善 AN 的热稳定性。

(2) 动力学方程是在低温段(即自加热加速分解之前的温度段)求得的, 在自加热加速分解温度段之后, 动力学方程描述反应机理的误差较大, 不再适用。

## 参考文献:

- [1] 王光龙, 许秀成. 硝酸铵热稳定性的研究[J]. 郑州大学学报(工学版), 2003, 24(1): 47-50.  
WANG Guang-long, XU Xiu-cheng. Study on thermal stability of ammonium nitrate[J]. Journal of Zhengzhou University, 2003, 24(1): 47-50.
- [2] Ozawa T. A new method of analyzing thermogravimetric data[J]. Bull. Chem. Soc. Jpn., 1965, 38(1): 1881-1886.
- [3] Satava V. [J]. Thermochim. Acta, 1971, (2): 423.
- [4] Sestak J. [J]. Thermochim. Acta, 1971, (3): 1-12.
- [5] 胡荣祖, 史启祯, 主编. 热分析动力学[M]. 北京: 科学出版社, 2001, 8.

## Thermal Decomposition Kinetics of Mixture of AN and NaNO<sub>3</sub>

GUO Zi-ru, WANG Xiao-hong

(Department of Chemical Engineering, Anhui University of Science and Technology, Anhui 232001, China)

**Abstract:** The kinetics of the thermal decomposition reaction of analytically pure ammonium nitrate (AN), commercially pure AN and mixture of analytically pure AN and NaNO<sub>3</sub> has been investigated by means of non-isothermal DSC and TG at various heating rates of 2, 4, 6, 8 K · min<sup>-1</sup>, respectively. The result shows that the decomposition reaction in the conversion degree range of 0.0 ~ 0.4 for AN is controlled by nucleation and growth, and the mechanism function is Arrami-Erofeev equation with  $n = 2/3$ . The decomposition process of the mixture in the conversion degree range of 0 ~ 0.4 is classified as one-dimension phase boundary reaction and the mechanism function is the contracting sphere (volume) equation with  $n = 1/3$ . The kinetic equations of analytically pure AN (commercially pure AN is resembled) and the mixture are  $d\alpha/dT = 10^{9.43}(1 - \alpha) [-\ln(1 - \alpha)]^{\frac{1}{3}} \exp(-1.319 \times 10^4/T)$  and  $d\alpha/dT = 10^{9.4}(1 - \alpha)^{\frac{2}{3}} \exp(-1.556 \times 10^4/T)$  respectively, indicating that NaNO<sub>3</sub> can improve the thermal stability of AN.

**Key words:** physical chemistry; ammonium nitrate (AN); thermal decomposition, kinetics; DSC; TG